

# زمین‌شناسی و خاستگاه کانسار سرب و روی اورس کوه در البرز خاوری (استان سمنان)

محمد لطفی<sup>۱\*</sup>، محمد حکمتیان<sup>۲</sup>، امیر علی طباخ شعبانی<sup>۳</sup> و میرعلی اصغر مختاری<sup>۴</sup>

<sup>۱</sup> دانشیار، گروه زمین‌شناسی، دانشگاه آزاد اسلامی، واحد تهران شمال، تهران، ایران

<sup>۲</sup> دانشجوی کارشناسی ارشد، پژوهشکده علوم زمین، سازمان زمین‌شناسی و اکتشافات معدنی کشور، تهران، ایران

<sup>۳</sup> استادیار، دانشکده علوم زمین، دانشگاه خوارزمی، تهران، ایران

<sup>۴</sup> استادیار، گروه زمین‌شناسی، دانشگاه زنجان، زنجان، ایران

تاریخ پذیرش: ۱۳۹۱/۱۱/۰۳ تاریخ دریافت: ۱۳۹۱/۰۶/۰۸

## چکیده

کانسار سرب و روی اورس کوه در فاصله ۷۹ کیلومتری شمال خاور شهر سمنان قرار دارد. این کانسار به صورت چینه کران و در دولومیت و سنگ آهک دولومیتی بخش بالایی سازند الیکا به سن تریاس قرار دارد. ساختار اورس کوه شامل یک تاقدیس عادی با امتداد محوری شمال خاوری-جنوب باختزی است و از روند عمومی البرز خاوری پیروی می‌کند. چین خوردگی در این منطقه سبب شکل‌گیری سه دسته درزه شده است: درزه‌های هم راستا با محور تاقدیس، درزه‌های کششی عمود بر محور تاقدیس و سامانه درزه‌های مزدوج. دو دسته اول میزبان کاسارسازی به فرم رگه‌ای هستند. افزون بر این، کانه‌زایی به فرم‌های برشی و پرکننده حفرات کارستی نیز قابل مشاهده است. کانه‌های اویلی در این کانسار گالن، اسفالریت و پیریت هستند که در اثر فرایندهای برونزاد به کانه‌های ثانویه همچون سروزیت، گوتیت، هیدروهتاولیت و روزاسیت دگرسان شده‌اند. کانه‌های باطله شامل دولومیت، کلسیت، باریت، کوارتز و میزان کمتر فلورین است. مطالعه میانبارهای سیال موجود در کانه‌های کلسیت و باریت نشان دهنده سیال‌هایی است که بیشتر دامنه دمایی میان ۲۹۸ تا ۳۲۳ درجه سانتی گراد دارند. دمای به نسبت بالای این سیال‌ها به احتمال زیاد از یک توده نفوذی ژرف تأمین می‌شده که برداشت‌های ژئومغناطیس هوایی وجود این توده را مخصوص کرده است. شوری سیال‌ها نیز محدود و سیعی از ۰/۶ تا ۱۵ درصد وزنی معادل NaCl را شامل می‌شود که احتمالاً ناشی از آمیختگی سورابه‌های حوضه‌ای با سیال‌های جوی است. در مجموع با توجه به شواهد یادشده می‌توان کانسار اورس کوه را در ردیف کانسارهای MVT قرار داد که پس از کانه‌زایی در اثر فرایندهای برونزاد ثانویه، کانه‌شناسی و نسبت عناصر در آن دستخوش تغییر شده است.

**کلیدواژه‌ها:** سازند الیکا، کانسار MVT، میانبار سیال، اورس کوه، البرز خاوری.

\*نویسنده مسئول: محمد لطفی

E-mail: m\_lotfi\_1014@yahoo.com

## ۱- پیش‌نوشتار

دارند شامل نهشته‌های آهک و دولومیتی سازند الیکا به سن تریاس زیرین تا میانی و سازند شمشک به سن تریاس بالایی تا ژوراسیک که بیشتر از ماسه‌سنگ و شیل خاکستری رنگ تشکیل شده که یک افق لاتریت و بوکسیت با سترای کم و به صورت هم شیب میان این دو سازند جای گرفته است (شکل ۲). این تغییر رخساره از نهشته‌های کربناتی دریایی به نهشته‌های آواری قاره‌ای در اثر رخداد کوهزایی کیمرین پیشین (Early Kimmerian) صورت گرفته است (علوی نایینی، ۱۹۹۷) از دیدگاه سنگ‌شناسی سازند الیکا در گستره مورد پژوهش به دو بخش اصلی قابل جدایش است. بخش زیرین دربردارنده سنگ‌آهک‌های خاکستری رنگ با لایه‌بندی متوسط و بخش بالایی دربردارنده سنگ‌آهک دولومیتی و دولومیت‌های زرد رنگ سترایلایه تا توده‌ای است (شکل‌های ۲ و ۳).

ساختار کلی اورس کوه به صورت یک تاقدیس عادی است (شکل ۴) که محور آن روند شمال خاور-جنوب باختز دارد. بخش زیرین سازند الیکا در هسته تاقدیس اورس کوه رخمنو دارد و توالی بخش بالایی سازند الیکا و سازند شمشک که با یک افق بوکسیت و لاتریت همراه است در هر دو یال تاقدیس دیده می‌شود. افق لاتریتی در منطقه اورس کوه گسترش محلی دارد؛ چنان‌که در محل معدن اثری از آن به چشم نمی‌خورد و سازند شمشک به طور مستقیم روی سازند الیکا قرار دارد (شکل ۳). کانسار سرب و روی اورس کوه چینه کران (Stratabound) و کانه‌زایی محدود به واحد بالایی سازند الیکا (واحد دولومیتی) است (قربانی و همکاران، ۱۳۷۹؛ Ghorbani، 2013). کانه‌زایی بیشتر به صورت رگه‌ای است که از روند درزه‌ها و شکستگی‌ها پیروی می‌کند و با پدیده‌هایی همچون کارستی شدن و برشی شدن خاستگاه دیرزاد (Epigenetic) کانه‌زایی است.

کانسارهای فلزات پایه با سنگ میزبان کربناتی یکی از مهم‌ترین منابع سرب و روی جهان به شمار می‌روند. این ذخایر در ایران از دید سنی در کامبرین، دونین، پرمین، تریاس، ژوراسیک و کرتاسه گزارش شده‌اند (مهری و همکاران، ۱۳۸۹). گستره البرز با دارا بودن توالی‌های کربناتی ستبر، توائی‌ای بالایی برای پی‌جوبی این گونه از کانسارها را دارد. کانسار اورس کوه یکی از مجموعه کانسارهای حوضه معدنی تاش-شمیرزاد در گستره البرز خاوری است (رسا و کاظمی مهرنیا، ۱۳۸۴) که در دولومیت‌ها و سنگ‌آهک‌های دولومیتی سازند الیکا به سن تریاس میانی تشکیل شده است. بیشتر کانسارهای سرب و روی گستره البرز در سنگ‌آهک‌های دولومیتی و سیلیسی شده شکل گرفته‌اند که با پدیده‌هایی همچون تبلور دوباره، کارستی شدن و برشی شدن سنگ میزبان همراه هستند. معادن فلورین پاچی میانا (گرجی‌زاد، ۱۳۷۵) و شش روبار (شريعتمدار، ۱۳۷۷) نیز در گستره البرز از جمله معادن نوع MVT هستند که سن آنها تریاس میانی است. رخداد کانه‌زایی اورس کوه به مختصات جغرافیایی "۵۱° ۵۱' ۵۳" طول خاوری و "۳۹° ۵۶' ۳۵" عرض شمالی در فاصله ۷۹ کیلومتری شمال خاور شهر سمنان قرار دارد (شکل ۱) و پیش از این به منظور استخراج سرب مورد بهره‌برداری قرار گرفته است. در این پژوهش تلاش شده است تا با مطالعه درزه‌ها، بافت و ساخت، کانه‌شناسی و دما‌سنگی میانبارهای سیال در کانسار اورس کوه، خاستگاه و چگونگی شکل‌گیری این کانسار مورد بررسی قرار گیرد.

## ۲- زمین‌شناسی

گستره البرز خاوری بیشتر دربردارنده چین خوردگی‌هایی با روند شمال خاوری-جنوب باختزی است. در محدوده اورس کوه نیز روند چین خوردگی‌ها با روند عمومی البرز خاوری همخوانی دارد. واحدهای سنگی که در این محدوده رخمنو

### ۳- زمین‌ساخت رگه‌ها

به صورت شکستگی‌های با فضای باز پرنشده نمود دارند که نشان‌دهنده فازهای زمین‌ساختی پس از کانه زایی است.

در مجموع می‌توان سوی تنش‌های اصلی وارد شده به منطقه را به صورت شکل ۱۱ نمایش داد. همان‌گونه که در این تصویر دیده می‌شود، تنش‌های فشارشی (۵) در سوی شمال باختری- جنوب خاوری به منطقه وارد شده و سوی تنش‌های کششی (۵) عمود بر آن یعنی شمال خاوری- جنوب باختری است. تنش‌های فشارشی سبب چین خوردگی واحدهای رسوبی و شکل‌گیری ساختار در مقدیس می‌شوند. در سوی شمال باختری- جنوب خاوری هم راستا با جهت تنش‌های کششی در منطقه شده است. همچنین این تنش سبب گسل خوردگی هم راستا با محور تاقدیس میان واحدهای سازند الیکا و ایجاد بافت‌های خرد شده و برشی در سنگ‌های کربناتی شده است. یک دسته درزه‌های کششی عمود بر محور تاقدیس شکل گرفته‌اند. این درزه‌ها که نقش بنیادین در حرکت سیال‌های کانه‌ساز و شکل‌گیری کانسار به صورت دیرزاد داشته‌اند دارای امتداد عمود بر ۵ و به موازات ۵ هستند.

### ۴- کانه‌شناسی، ساخت و بافت کانسنگ

کانه‌ها در کانسار اورس کوه به دو بخش سولفیدی درونزاد و غیرسولفیدی برونزاد تقسیم می‌شوند که در سنگ‌های دولومیتی بخش بالایی سازند الیکا تشکیل شده‌اند. بخش سولفیدی بیشتر شامل بلورهای گالان است که در برخی نمونه‌ها با اسفالریت همرشدی دارد (شکل ۱۲-a). کانی گالان در مقاطع صیقلی دارای رخ مثاشی است که در اثر تنش‌های زمین‌ساختی پس از کانه زایی تغییر شکل داده است (شکل ۱۲-b). در حال حاضر آثار کمی از گالان در دیواره تونل‌های استخراجی و رگه‌های معدنی به چشم می‌خورد. به نظر می‌رسد بیشتر فاز سولفیدی کانسار استخراج شده و در حال حاضر فاز برونزاد و غیرسولفیدی باقی مانده است. بخش‌های سولفیدی با قیمانده بیشتر شامل گالان است که به واسطه پوششی از کانی ثانویه سروزیت از دگرسانی بیشتر محفوظ مانده است (شکل ۱۲-c). افزون بر آن بلورهای بسیار ریز پیریت به صورت دانه‌های پراکنده در زمینه سنگ میزان کربناتی وجود دارد (شکل ۱۲-d). فاز غیرسولفیدی بیشتر شامل کانه‌های اکسیدی آهن مانند لیموئیت و گوتیت است که به صورت فاز برونزاد در اثر فروشوبی (Leaching) کانه‌های سولفیدی آهن دار مانند پیریت و مارکاسیت ایجاد شده است. فراوانی اکسیدهای آهن سبب رنگ قهوه‌ای تا قهوه‌ای مایل به زرد کانسنگ شده است.

شکل کانسنگ در کانسار اورس کوه بیشتر رگه‌ای است، بروزه در بخش‌هایی که فاز سولفیدی وجود دارد پارائنز گالان و باریت با ساخت رگه‌ای درون سنگ میزان دولومیتی به چشم می‌خورد (شکل ۱۳-a). همچنین در برخی بخش‌ها کانی باریت به صورت بلورهای تیغه‌ای شکل در دیواره رگه‌ها دیده می‌شود (شکل ۱۳-b). افزون بر ساخت رگه و رگچه‌ای بافت پرکنده حفرات کارستی نیز قابل مشاهده است. در حفرات کارستی، کانه‌ها توسط پوششی از آراگونیت پوشیده شده‌اند (شکل ۱۳-c). بافت برشی نیز در کانسنگ به احتمال زیاد حاصل از فروبریزش حفرات کارستی است (solution-collapse breccias) که در آن قطعات خرد شده کانسنگ توسط سیمان کلسیتی به هم متصل شده‌اند (شکل ۱۳-d).

### ۵- دماستجی میانبارهای سیال

میانبارهای سیال (Fluid Inclusions) هم در کانی‌های شفاف و هم در کانی‌های تیره وجود دارند، ولی برای بررسی و مطالعه آنها، بیشتر از کانی‌های شفاف و دانه‌درشت که در برگیرنده سیال‌های بزرگ هستند استفاده می‌شود (Wilkinson, 2001).

از جمله کانی‌هایی که میانبارهای سیال بیشتر در آنها مورد مطالعه قرار می‌گیرد، می‌توان به کانی‌های کوارتز، فلوریت، هالیت، کلسیت، دولومیت، اسفالریت، باریت،

به طور کلی درزه‌ها (Joints) شکستگی‌های کوچک مقیاسی هستند که سنگ‌های دو سوی آن نسبت به هم جابه‌جاوی قابل ملاحظه‌ای ندارند. جابه‌جاوی در دیواره درزه‌ها نسبت به یکدیگر می‌تواند دورشونده (درزه‌های کششی) و یا برشی (درزه‌های برشی) باشد (فاسمی، ۱۳۸۷). به طور کلی می‌توان سه دسته درزه را در تاقدیس اورس کوه شناسایی کرد که عبارتند از:

(۱) دسته درزه‌های با امتداد تقریبی SWW-NEE که امتداد آنها از امتداد محور چین خوردگی پیروی می‌کند. تشکیل این درزه‌ها در ارتباط با کشش بخش‌های بیرونی چین خوردگی و یا در ارتباط با گسلش بین واحدهای سازند الیکا بوده است. این دسته درزه یکی از سامانه درزه‌های میزان کانه‌زایی است و رگه‌های اصلی کانسار در امتداد همین درزه‌ها شکل گرفته‌اند.

(۲) دسته درزه‌های با روند تقریبی NNW-SSE که امتداد آنها عمود بر محور چین خوردگی و راستای تنش‌های کششی (۵) و هم راستا با تنش‌های فشارشی اعمال شده بر منطقه (۵) است. این دسته درزه در حقیقت درزه‌های کششی هستند که با ایجاد فضاهای خالی درون سنگ شرایط را برای جریان سیال‌های کانه‌زا و نهشت فراهم می‌کنند. رگه‌های معدنی تشکیل شده در امتداد این درزه‌ها نسبت به سیستم پیشین سترای کمتری دارند.

(۳) درزه‌های مزدوج که در اثر چین خوردگی در سنگ ایجاد می‌شوند. وضعیت قرار گیری این سامانه به گونه‌ای است که نیمساز زاویه تند میان درزه‌ها هم راستا با سوی تنش‌های فشارشی (۵) و نیمساز زاویه باز هم راستا با سوی تنش‌های کششی (۵) است (فاسمی، ۱۳۸۷). این درزه‌ها بدون کانه‌زایی هستند و تنها از دیدگاه مشخص کردن الگوی تنش‌های زمین‌ساختی در منطقه ارزش دارند.

به منظور بررسی زمین‌شناسی ساختاری کانسار اورس کوه، وضعیت درزه‌ها شامل شیب، سوی شیب و امتداد آنها در سه ایستگاه جداگانه در محدوده معدنی برداشت شد که در ادامه نتایج حاصل از این برداشت‌ها ارائه و بررسی می‌شود.

در ایستگاه شماره یک (به مختصات "۴۹° ۴۹' ۵۳۰" عرض شمالی) دو درزه بزرگ با طول بیش از ۱۰ متر با مقدار شیب حدود ۷۲° درجه با آزیمут امتداد ۷۴° و آزیموت سمت شیب ۱۶۴° رخ‌خون دارد (شکل‌های ۵ و ۶).

در ایستگاه شماره دو (به مختصات "۴۹° ۵۲/۸ ۵۳۰" طول خاوری و "۴۲/۴ ۵۶° ۳۵" عرض شمالی) دو دسته درزه اصلی قابل مشاهده است که هر دو دسته به فرم رگه‌ای توسط مواد معدنی پر شده‌اند. دسته اول دارای آزیموت امتداد ۷۰°- ۶۰° و شیب ۹۰°- ۸۰° با آزیموت سوی شیب ۱۶۰°- ۱۵۰° هستند. این دسته درزه‌ها در امتداد محور چین خوردگی قرار دارند (شکل‌های ۷ و ۸). دسته دوم، درزه‌های با آزیموت امتداد ۱۸۰°- ۱۷۰° و شیب ۸۰°- ۷۰° با آزیموت سوی شیب ۲۶۰°- ۲۷۰° هستند (شکل‌های ۷ و ۸-b). امتداد این درزه‌ها تقریباً بر امتداد محور تاقدیس عمود است و در حقیقت درزه‌های کششی تشکیل شده در راستای تنش‌های فشارشی (۵) هستند. افزون بر این دو ایستگاه ایستگاه شماره ۳ (به مختصات "۴۳° ۵۶' ۳۵" عرض شمالی)، همانند ایستگاه شماره ۲، دو دسته درزه اصلی در سنگ میزان دولومیتی قابل مشاهده است. دسته اول دارای آزیموت امتداد ۱۸۵°- ۱۶۵° و شیب ۸۴°- ۷۵° با آزیموت امتداد ۵۰°- ۴۹° و شیب متوسط میان ۸۵°- ۶۰° با آزیموت سوی شیب ۹۵°- ۹۰° است (شکل‌های ۹ و ۱۰). درزه‌های این ایستگاه بدون آثار کانه‌زایی هستند و رگه‌های کلسیتی موجود در سنگ را که بیشتر روند شمالی- جنوبی تا شمال باختری- جنوب خاوری دارند، قطع می‌کنند. این درزه‌ها

در ایستگاه شماره ۳ (به مختصات "۴۳° ۵۶' ۳۵" عرض شمالی)، همانند ایستگاه شماره ۲، دو دسته درزه اصلی در سنگ میزان دولومیتی قابل مشاهده است. دسته اول دارای آزیموت امتداد ۱۸۵°- ۱۶۵° و شیب ۸۴°- ۷۵° با آزیموت امتداد ۵۰°- ۴۹° و شیب متوسط میان ۸۵°- ۶۰° با آزیموت سوی شیب ۹۵°- ۹۰° است (شکل‌های ۹ و ۱۰). درزه‌های این ایستگاه بدون آثار کانه‌زایی هستند و رگه‌های کلسیتی موجود در سنگ را که بیشتر روند شمالی- جنوبی تا شمال باختری- جنوب خاوری دارند، قطع می‌کنند. این درزه‌ها

## ۵-۲. گرمادادن (Heating)

به کمک روش ریزدماسنجی می‌توان کمینه دمای تشکیل کانی‌ها را تعیین کرد؛ به طوری که اگر سیال گرماداده شود، همه فازهای آن که در برگیرنده فاز جامد مایع و گاز است همگن می‌شود که این امر گویای کمینه دمای تشکیل مطالعه شده دمای و به عبارت دیگر کمینه دمای تشکیل کانی است. در نمونه‌های مطالعه شده دمای همگن شدگی میانبارهای سیال دوفازی با تبدیل بخار به مایع صورت گرفته و در نمونه دارای بخار بالا با تبدیل مایع به بخار همگن شدگی ثبت شده است. نتایج پژوهش نشان می‌دهد که میانبارهای سیال غنی از گاز (Vaporrich) شاخص مناسبی برای اندازه‌گیری ریزدماسنجی میانبارهای سیال نیستند؛ به طوری که تکرار چندین بار اندازه‌گیری روی این نوع از میانبارهای سیال نتایج کاملاً متفاوتی را در برداشته است. این امر به احتمال زیاد ناشی از بسته نبودن سامانه ترمودینامیکی این نوع از میانبارهای سیال است (Roedder & Bodnar, 1977). از این رو در مطالعه میانبارهای سیال کانسار اورس کوه سعی شد تا بیشتر از سیال‌های غنی از مایع (که همگن شدگی آنها با تبدیل بخار به مایع صورت گرفته است) استفاده شود. مطالعه روی دمای همگن شدگی میانبارهای سیال نشان دهنده گروههای دمایی متغیری از ۹۰ تا ۴۲۳ درجه سانتی گراد و بیشترین فراوانی دمایی همگن شدگی مربوط به گستره دمایی ۲۹۸ تا ۳۲۳ درجه سانتی گراد است (شکل ۱۶).

نمودار شکل ۱۷ محدوده گروههای اصلی ذخایر معدنی را بر پایه درصد شوری و دمای سیال‌های تشکیل دهنده کانسار نشان می‌دهد (Wilkinson, 2001). همان‌گونه که دیده می‌شود طیف وسیعی از کانسارها میان منحنی اشباع هالیت و منحنی بحرانی قرار گرفته‌اند. همچنین محدوده‌های کانسارسازی انواع گوناگون، همپوشانی زیادی از دید شوری و دمایی همگن شدگی با یکدیگر دارند. داده‌های میانبارهای سیال کانسار اورس کوه نشان دهنده سیال‌هایی با شوری به نسبت کم و دمای متوسط تا بالا هستند و در محدوده کانسارهای اپی ترمال قرار می‌گیرند. با این حال نمودار ستونی فراوانی داده‌های مربوط به شوری میانبارهای سیال نشان دهنده دو جمعیت کاملاً متفاوت است و نمونه از میانبارهای سیال مطالعه شده شوری به نسبت بالایی دارند که این می‌تواند نشان دهنده نقش شورابهای درون حوضه‌ای در شکل گیری سیال‌های کانه ساز باشد. شوری متفاوت در میانبارهای سیال ممکن است حاصل آمیختگی سیال‌های جوی (سیال‌های با شوری پایین) با شورابهای درون حوضه‌ای (سیال‌های با شوری بالا) باشد. دمای بالایی میانبارهای سیال در کانسار اورس کوه با توده نفوذی بزرگی که احتمالاً در جنوب با خطر منطقه وجود دارد در ارتباط است. هر چند این توده در سطح رخمنون ندارد اما در برداشت‌های ژئوفیزیک هواپی به روش مغناطیس‌سنجی که توسط گروه ژئوفیزیک هواپی سازمان زمین شناسی کشور صورت گرفته است؛ به صورت منطقه‌ای با تفاوت شدید در شدت میدان مغناطیسی کل قابل مشاهده است (شکل ۱۸).

## ۷- نتیجه‌گیری

با توجه به مجموعه شواهد و مقایسه آنها با دیگر کانسارها، شbahات‌های زیادی میان کانسار سرب و روی اورس کوه با کانه‌زایی نوع MVT وجود دارد (Leach & Taylor, 2009; Paradis et al., 2007; Bradley & Leach, 2003; Hannigan, 2007; Leach et al., 2001; Nelson et al., 2002; Patterson & Powis, 2002; Leach & Sangster, 1993; Amstutz & Fontbote, 1983; Hitzman et al., 2003). این شواهد بیشتر شامل ریخت‌شناسی چینه‌کران، سنگ میزان کربناتی دولومیتی شده، پدیده‌های کارستی شدن، برشی شدن و گسل خوردگی و همچنین نبود ارتباط مستقیم با توده‌های نفوذی است. ساختارهای کنترل کننده کانه‌زایی در کانسار اورس کوه شامل درزه‌ها، شکستگی‌ها و گسل‌ها و همچنین حفرات انحلالی کارستی در سنگ میزان هستند که در طی فازهای

توباز و کاستریت اشاره کرد (Shepherd et al., 1985). به منظور مطالعات دماسنجدی روی میانبارهای سیال در کانسار اورس کوه از کانی‌های باریت و کلسیت موجود در رگه‌های معدنی استفاده شد. برای انجام این پژوهش ۴ مقطع دوبرصیقل، مورد استفاده قرار گرفت، اندازه‌گیری‌های دماسنجدی به وسیله استیچ گرم و سرد کننده مدل MDS600 ساخت شرکت Linkam با تغییرات دمایی ۱۴۰-۶۰ درجه سانتی گراد انجام شد. برای تعیین درصد شوری و چگالی سیال‌ها و رسم نمودارها از نرم افزار مدلینگ V 2.6 (Software Modelling for Fluid Inclusion PVTX) استفاده شد. در نمونه‌های مورد پژوهش، ۴ گونه میانبار سیال اولیه قابل جدایش بودند (شکل ۱۴) که به شرح زیر هستند:

**(۱) سیال‌های دوفازی مایع-گاز L+V (Liquid rich L+V):** بیشترین نوع میانبارهای سیال در نمونه‌ها از این نوع هستند. در این گونه از میانبارهای سیال بیشترین حجم سیال را فاز مایع دربرمی‌گیرد و فاز گازی تنها ۳-۵٪ از حجم میانبار سیال را پر کرده است. در این سیال‌ها فاز جامد نمک وجود ندارد و میزان شوری آنها میان ۰/۶ تا ۱۱٪ وزنی معادل NaCl متغیر است.

**(۲) سیال‌های دوفازی گاز-مایع دارای CO<sub>2</sub>-H<sub>2</sub>O (CO<sub>2</sub>-H<sub>2</sub>O rich):** این گونه از میانبارهای سیال دارای CO<sub>2</sub>-H<sub>2</sub>O هستند. حضور کم CO<sub>2</sub> محلول در آب سبب می‌شود که در طی فرایند انجامد و اندازه‌گیری CO<sub>2</sub> محلول در آب به صورت تشکیل کلاتریت دیده و سبب اندازه گیری مقادیر مثبت برای Tm شود.

**(۳) سیال‌های تک‌غاز مایع L (Liquid):** این گونه از میانبارهای سیال به تعداد زیادی در نمونه‌های مورد بررسی دیده می‌شود. میانبارهای سیال تک‌غاز مایع نسبت به سیال تک‌غاز کار به میزان خیلی بیشتر در نمونه‌ها دیده می‌شود. امکان بهره گیری از این میانبارهای سیال در پژوهش‌های دماسنجدی وجود ندارد.

**(۴) میانبارهای سیال دوفازی غنی از CO<sub>2</sub> (CO<sub>2</sub> rich):** در شماری از نمونه‌های میانبارهای سیال مطالعه شده وجود میزان بالای CO<sub>2</sub> چه در فاز گازی و یا در فاز مایع موجب شده که این گونه از سیال Tm CO<sub>2</sub> قابل اندازه‌گیری باشد. CO<sub>2</sub> در این گونه از سیال‌های میان ۵۱/۷ تا ۵۶/۱٪ متغیر است که این می‌تواند در نتیجه حضور گازهای دیگری همچون CH<sub>4</sub> و N باشد. در طی همگن شدگی پایانی حباب‌های گاز، به دلیل حضور بیش از ۴۰٪ CO<sub>2</sub> در این نوع از میانبارهای سیال در طی گرماداده مربوط به دمای همگن شدگی Th دچار ترکیدگی می‌شوند که دمای Decrepitation (Td) را برابر با کمینه دمای همگن شدگی است نشان می‌دهند.

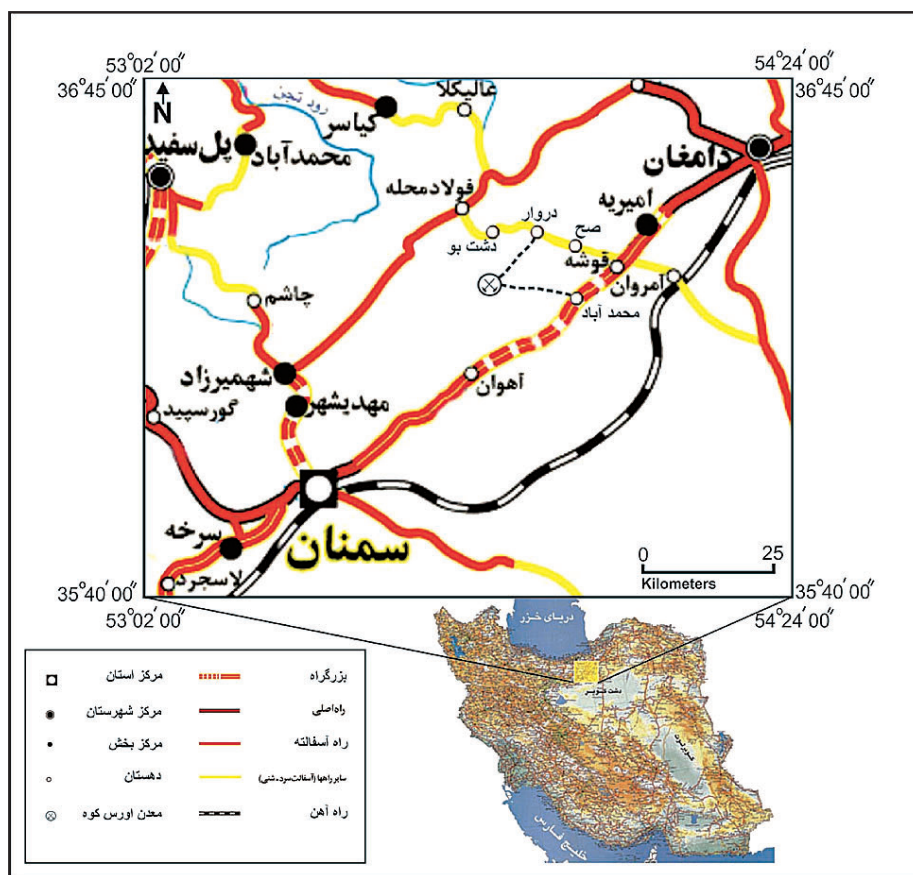
از دید خاستگاه و زمان به دام افتادن سیال، میانبارهای سیال مطالعه شده در مقاطعه به سه گروه تقسیم می‌شوند (Shepherd et al., 1985; Pirajno, 2009)؛ میانبارهای سیال اولیه (Primary inclusion)؛ میانبارهای سیال ثانویه (Secondary inclusion)؛ میانبارهای سیال شبه ثانویه (Pseudosecondary inclusion).

## ۵- انجامد (Freezing)

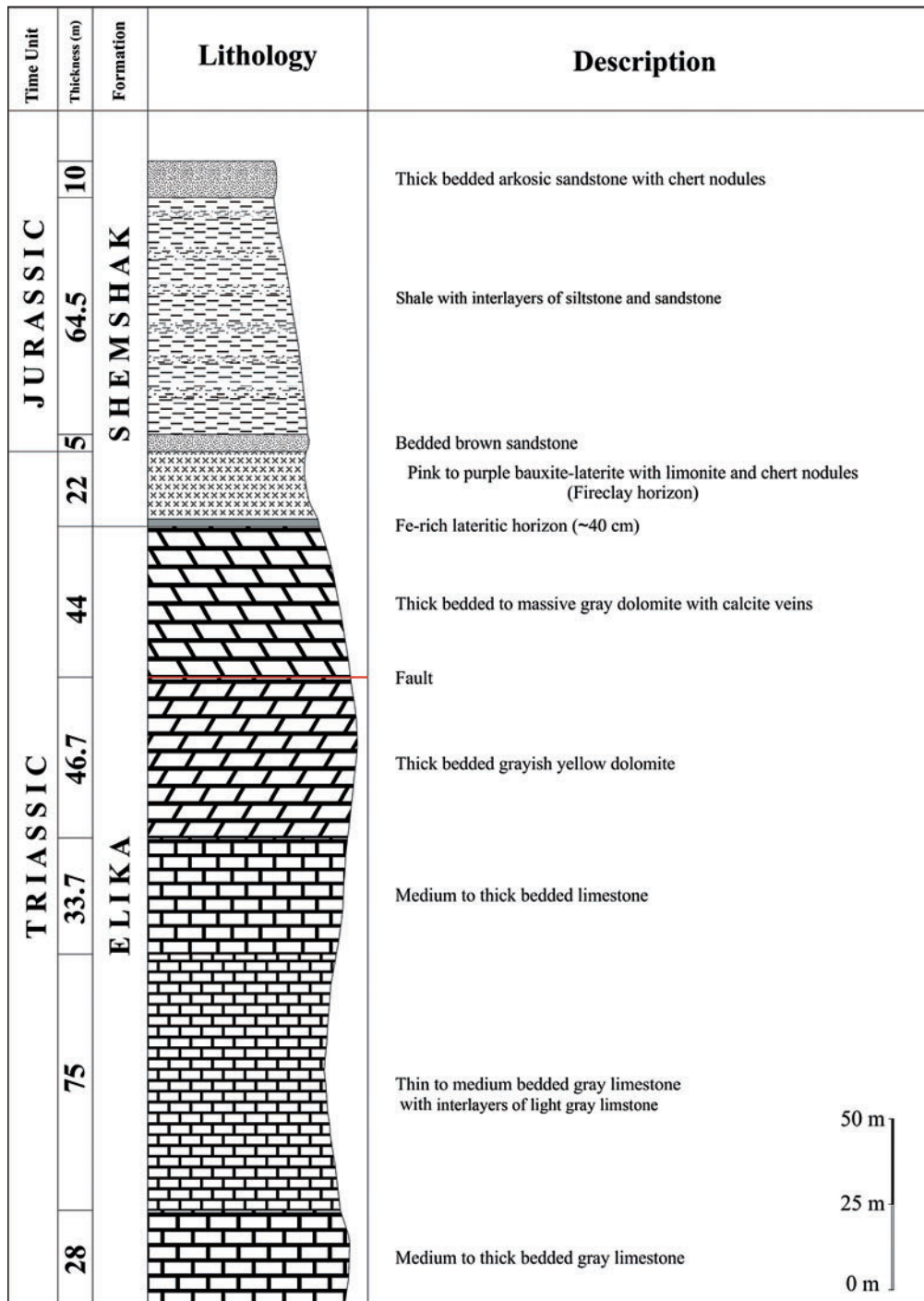
با اندازه گیری تغییرات درجه انجامد می‌توان شوری (Salinity) و چگالی (Density) را در میانبارهای سیال اندازه گیری کرد. اولین دمای ثبت شده در طی تشکیل اولین قطره ذوب (Te) یا دمای نقطه اوتکتیک است. نقطه اوتکتیک برای سامانه NaCl+ H<sub>2</sub>O تقریباً -۲۰/۸°C است. حال آنکه نقطه اوتکتیک در تعدادی از نمونه‌های مورد بررسی پایین تر از این مقدار است که بیانگر حضور نمک‌های دیگر افزون بر NaCl در سیال کانه ساز است. با کامل شدن ذوب تدریجی بخ، آخرین دمای ثبت شده یا دمای ذوب (Tm) اندازه گیری می‌شود که با استفاده از آن می‌توان به میزان شوری سیال بپرسی. بر پایه بررسی‌های انجام شده روی نمونه‌ها میزان Tm از ۶/۸ تا ۱/۲ درجه سانتی گراد متغیر است و بیشترین تعداد Tm اندازه گیری شده مربوط به گستره دمایی ۱-۱۰ درجه سانتی گراد است. بر این اساس در نمونه‌های مورد بررسی درجه شوری میانبارهای سیال از ۰/۶٪ تا ۱۵٪ وزنی معادل نمک طعام متغیر است (شکل ۱۵).

بوده است. در اثر بالا آمدگی منطقه و افت سطح ایستابی، شرایط محیط از اجایی به اکسیدان تغییر کرده و کانسuar سولفیدی اولیه دچار دگرسانی شده است. نفوذ سیال‌های جوی با فوگاسیته اکسیژن بالا، کانی‌های سولفیدی به‌ویژه سولفیدهای آهن را تجزیه کرده و با تولید اسید سولفوریک موجب کاهش شدید pH سیال‌های جوی فرورو و انحلال سرب و روی از توده سولفیدی اولیه شده است. روی به علت قابلیت انحلال بالاتر نسبت به سرب در محیط بروز نزد تقریباً به طور کامل شسته شده در صورتی که سرب در اثر افزایش pH محلول‌ها که خود ناشی از اثر بافر کنندگی سنگ‌های کربناتی است، به سرعت تشکیل کردنات سرب نامحلول (سروزیت) داده و نهشته شده است. همچنین بخشی از فاز سولفیدی سرب (گالن) با پوششی از کانی سروزیت پوشیده شده که این امر سبب جلوگیری از هوازدگی بیشتر گالن‌ها شده و به همین دلیل کانی گالن در بخش بروز نزد اکسیدان قابل مشاهده است.

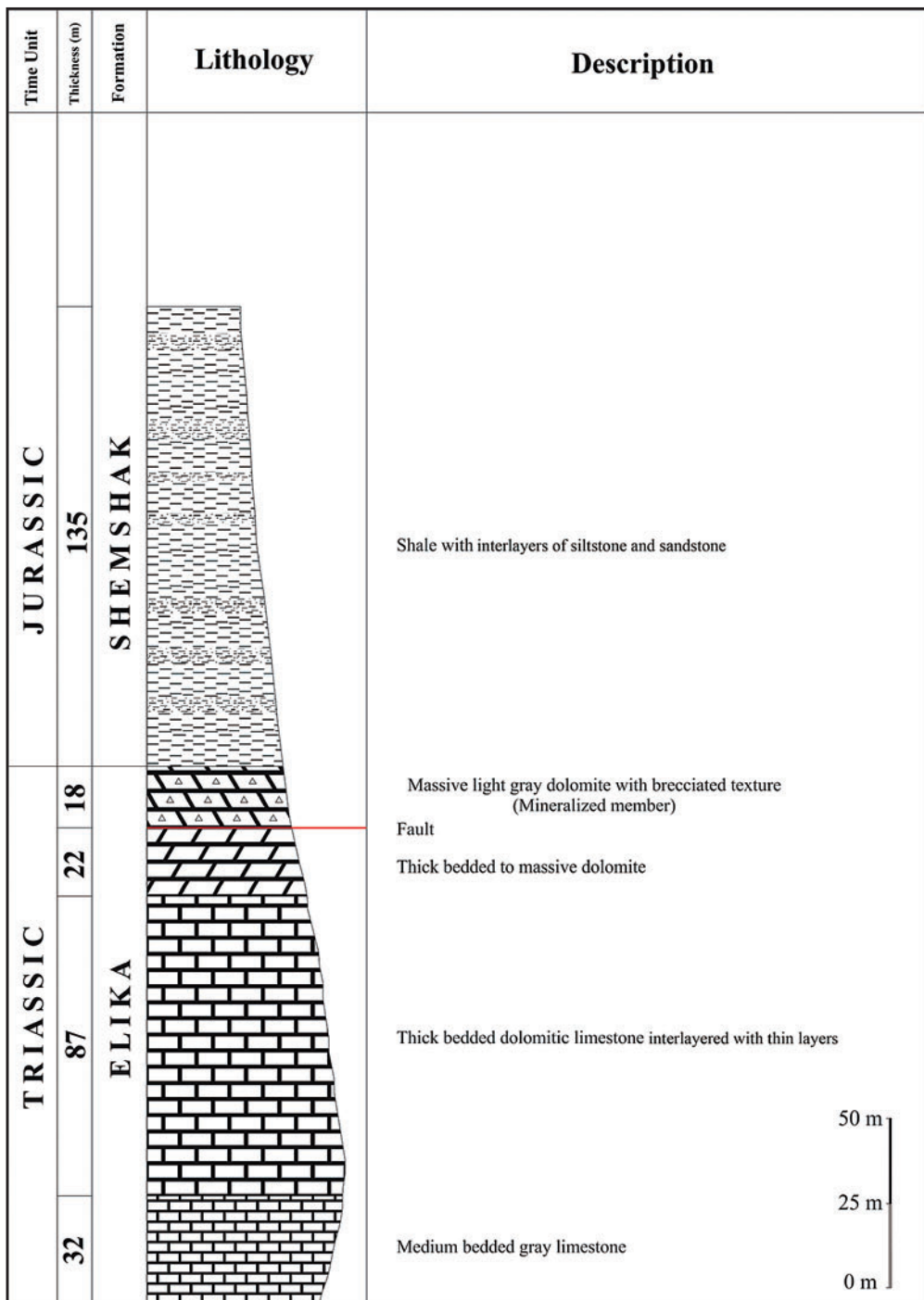
کوهزاری لارامید و آلبی که موجب شکل گیری ساختارهای چین‌خوردده البرز شده است به وجود آمده‌اند. سیال‌های کانه‌زا احتمالاً حاصل آمیختگی سیال‌های جوی و شورابه‌های درون حوضه‌ای بوده‌اند. فشارهای زمین‌ساختی که با ایجاد چین‌خوردگی و گسلش در منطقه همراه بوده سبب مهاجرت سیال‌های کانه‌زا به درون فضاهای خالی حاصل از گسل‌خوردگی، برشی شدن و کارستی شدن در سنگ‌میزان کربناتی شده است. وجود یک توده نفوذی ژرف احتمالی در منطقه نیز با بالا بردن دمای سیال‌ها و ایجاد جریان هم‌رفتی سیال درون سنگ‌های کربناتی سبب شسته شدن فلزات از درون سنگ‌ها و تمرکز آن در فضاهای خالی شده است. نهشته شدن کانه‌ها از سیال کانه‌زا تحت تأثیر عواملی مانند کاهش فشار (در اثر برخورد سیال با فضاهایی همچون درزه‌ها، گسل‌ها و حفرات کارستی)، کاهش دما و رقیق‌شدگی حاصل از آمیختگی شورابه‌ها با سیال‌های جوی صورت گرفته است. نهشته اولیه شامل کانه‌های سولفیدی گالن، اسفالریت و سولفیدهای آهن



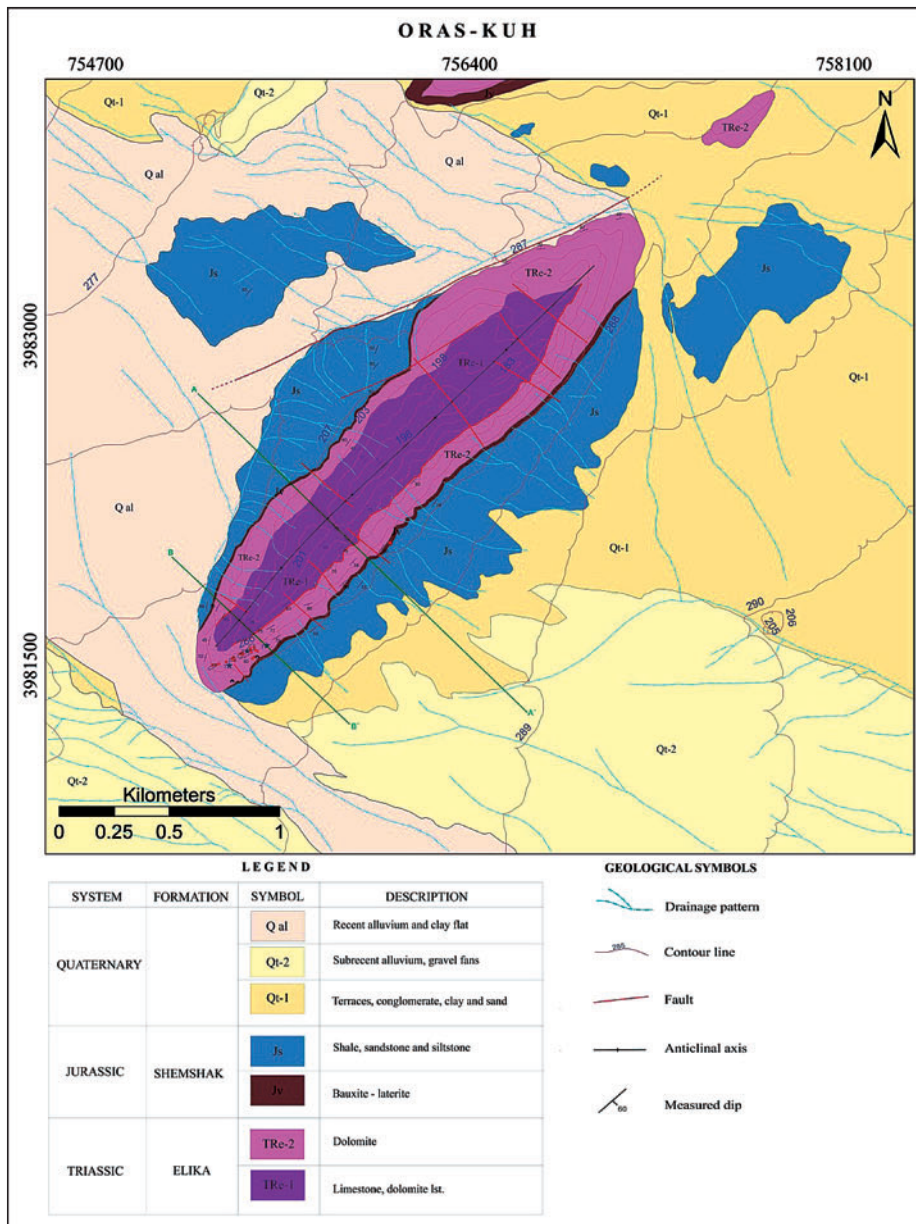
شکل ۱- نقشه راه‌های دسترسی به منطقه مورد مطالعه.



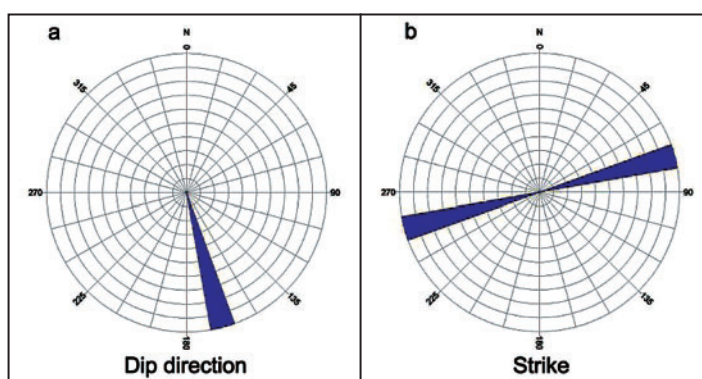
شکل ۲ - نوایی چینه‌نگاری منطقه اورس کوه (حکمتیان، ۱۳۹۱).



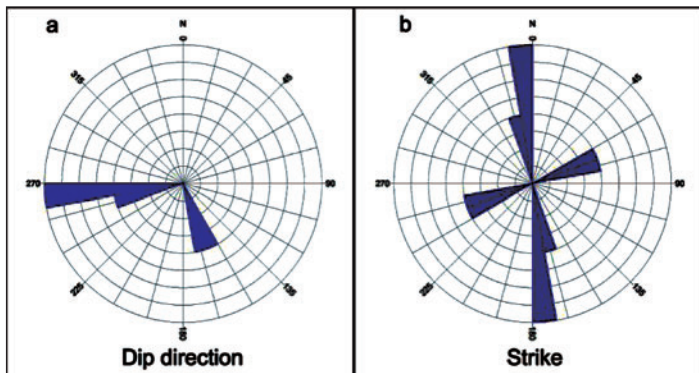
شکل ۳- توالی چینه‌نگاری منطقه اورس‌کوه در محل کانسار. در این توالی افق لاتریتی به چشم نمی‌خورد و کانه‌زایی در یک افق دولومیتی بیشتر برشی شده در بالاترین بخش از سازند الیکا قرار دارد (حکمتیان، ۱۳۹۱).



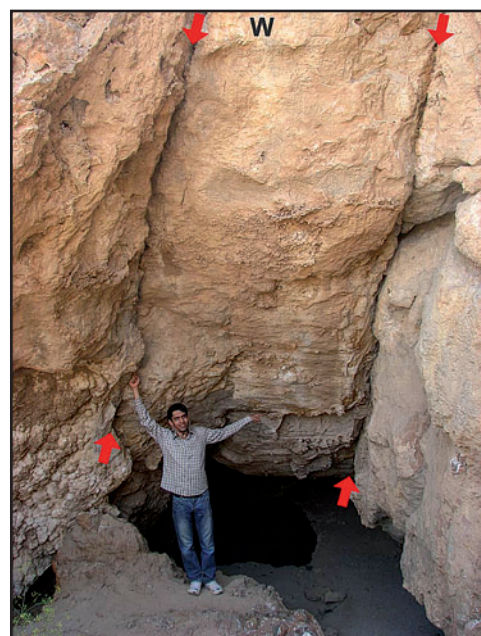
شکل ۴- نقشه زمین‌شناسی و برش‌های ساختاری محدوده معدنی اورس کوه (حکمتیان، ۱۳۹۱).



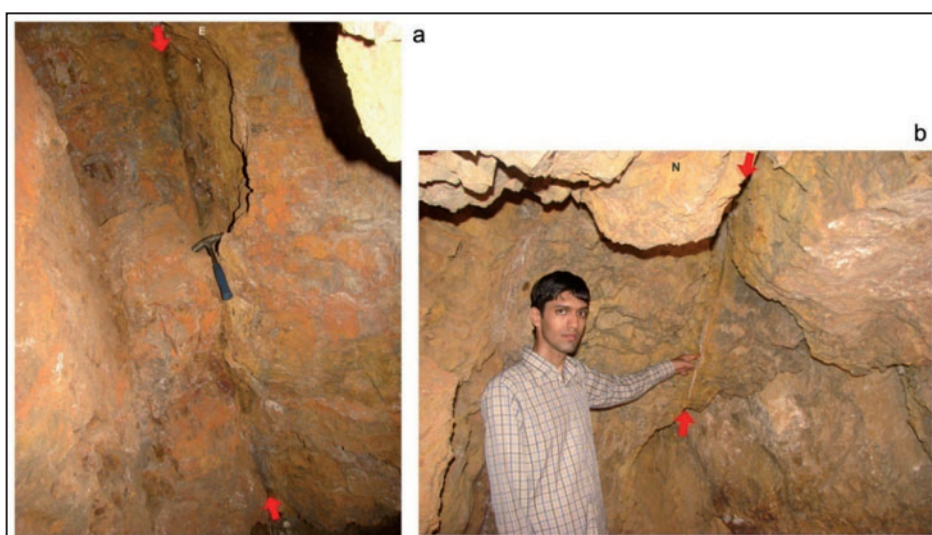
شکل ۵- نمودارهای گل‌سرخی مربوط به ایستگاه درزه‌نگاری شماره یک؛ (a) سوی شیب درزه‌ها؛ (b) امتداد درزه‌ها.



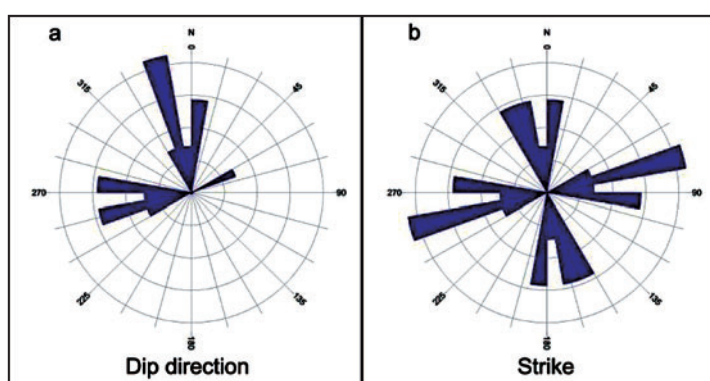
شکل ۷- نمودارهای گل‌سرخی مربوط به ایستگاه درزه‌نگاری شماره ۲. (a) سوی شیب درزه‌ها؛ (b) امتداد درزه‌ها (درزه برداشت شده است).



شکل ۶- درزه‌های اصلی در ایستگاه درزه نگاری شماره ۱.

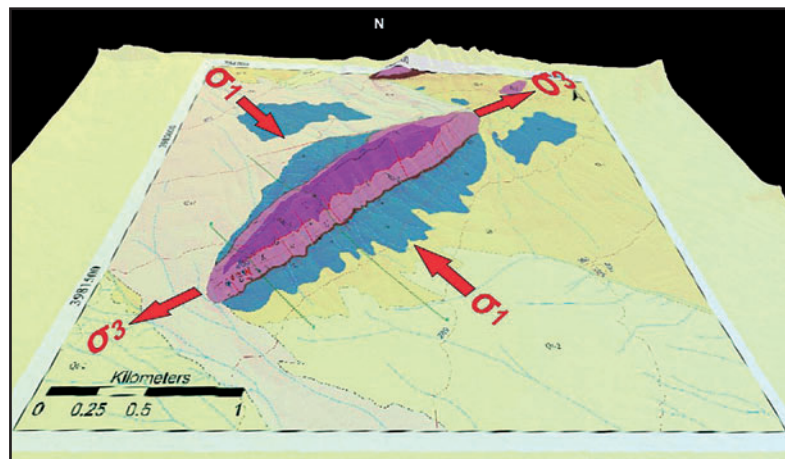
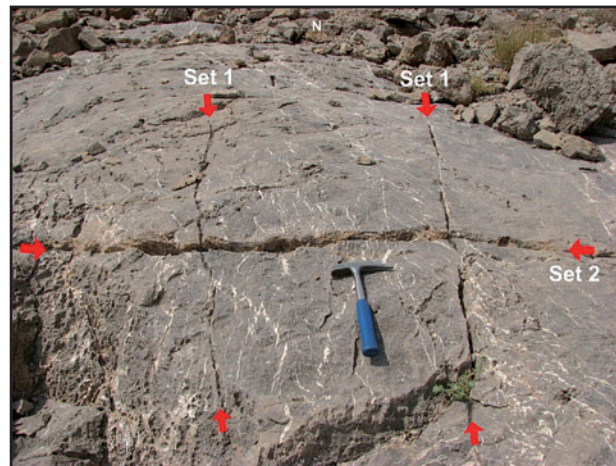


شکل ۸- درزه‌های کانی‌سازی شده در ایستگاه درزه نگاری شماره ۲، (a) درزه‌های گروه اول با امتداد تقریبی شمال خاور-جنوب باخترا که هم راستا با روند چین خوردگی تاقدیس هستند؛ (b) درزه‌های گروه دوم با امتداد تقریبی شمال باخترا-جنوب خاور که عمود بر محور چین خوردگی بوده و در اثر تنش‌های کششی شکل گرفته‌اند.

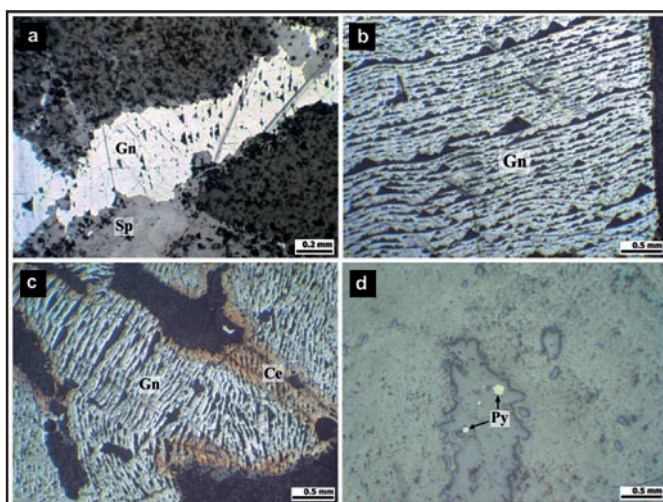


شکل ۹- نمودارهای گل‌سرخی مربوط به ایستگاه درزه نگاری شماره ۳- (a) سوی شیب درزه‌ها؛ (b) امتداد درزه‌ها (درزه برداشت شده است).

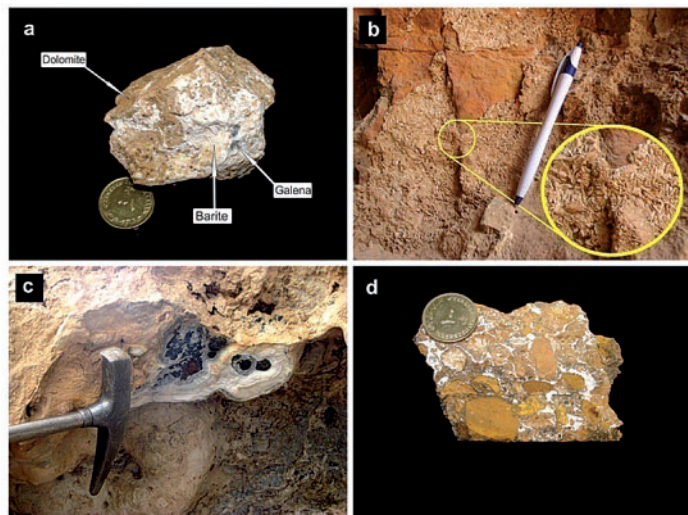
شکل ۱۰- دو دسته درزه متقاطع در ایستگاه درزه‌نگاری شماره ۳. دسته اول دارای امتداد تقریبی شمالی-جنوبی و دسته دوم دارای امتداد تقریبی شمال خاوری است. هر دو دسته درزه در این ایستگاه، رگه‌های کلستی موجود در سنگ که بیشتر روند شمال باختی-جنوب خاوری دارند (عمود بر محور تاقدیس) و در اثر تنش‌های کششی ایجاد شده‌اند را قطع می‌کنند.



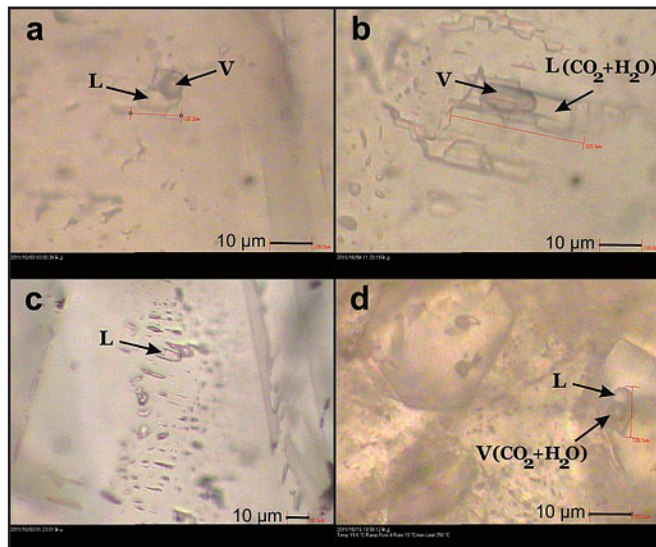
شکل ۱۱- نمایش سوی اثر تنش‌های فشارشی ( $\sigma_1$ ) و تنش‌های کششی ( $\sigma_3$ ) روی تصویر همپوشان از نقشه زمین‌شناسی اورس کوه و مدل ارتفاعی رقومی (DEM) با توان تفکیک مکانی ۱۰ متر.



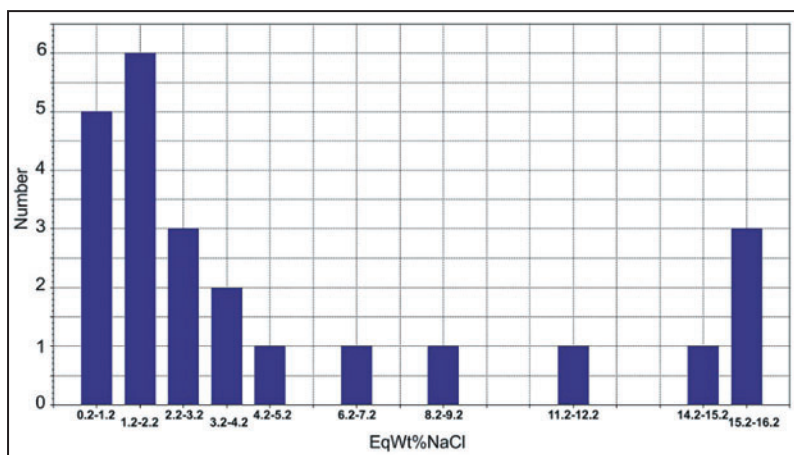
شکل ۱۲- کانه‌های کانسار اورس کوه در مقاطع صیقلی. (a) پارائنز گالان و اسفالریت؛ (b) گالان با رخ مثاثی (امتداد رخ‌ها در اثر فاز زمین ساختی پس از کانه‌زایی تغییر شکل داده است)؛ (c) گالان با رخ مثاثی که در حاشیه‌ها به سروزیت دگرسان شده است؛ (d) ذرات بیبریت خودشکل در زمینه سنگ میزان کربناتی کانسار اورس کوه.



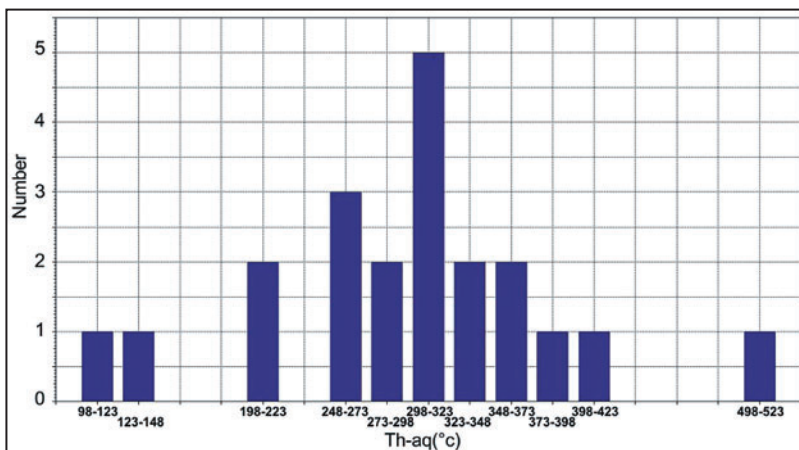
شکل ۱۳- نمونه‌های ماکروسکوپی کانستنگ اورس‌کوه. (a) پاراژنر گالان و باریت در زمینه سنگ میزان دولومیت؛ (b) باریت با بلورهای تیغه‌ای شکل روی دیواره یکی از رگهای معدنی؛ (c) کانه‌زایی به فرم استلاکتیت درون حفرات کارستی که توسط لایه‌های آراغونیت پوشیده شده است؛ (d) کانستنگ هوازده دارای بافت برشی.



شکل ۱۴- نمونه‌هایی از میانبارهای سیال موجود در کلسیت و باریت کانسوار اورس‌کوه. (a) میانبارهای سیال دو فازی مایع-گاز (Liquid rich) L+V; (b) میانبارهای سیال دوفازی گاز-مایع دارای  $\text{CO}_2\text{-H}_2\text{O}$ ; (c) میانبارهای سیال تک فازی مایع (Liquid) L; (d) میانبارهای سیال دوفازی غنی از  $\text{CO}_2$ .

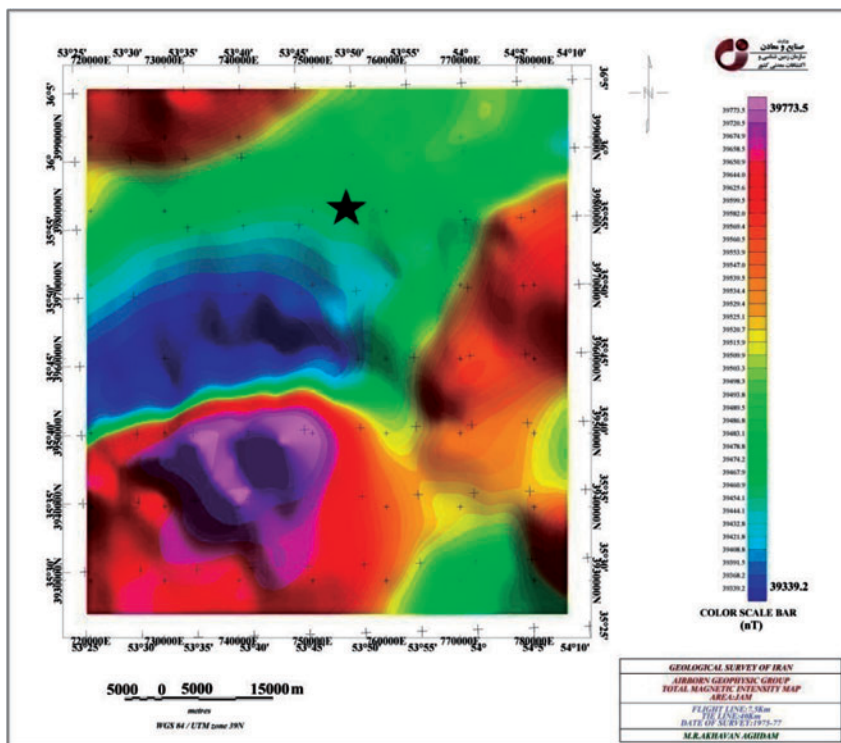
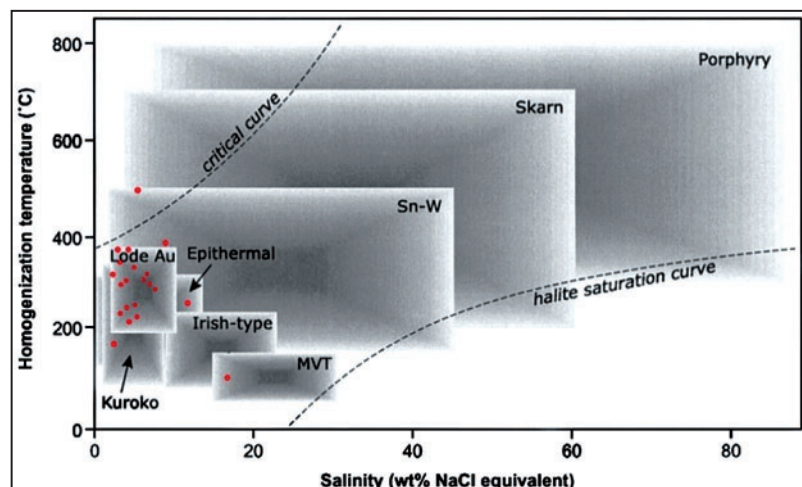


شکل ۱۵- نمودار ستونی فراوانی داده‌های مربوط به میانبارهای سیال نمونه‌های سیال مطالعه بر پایه درصد شوری.



شکل ۱۶- نمودار ستونی فراوانی داده‌های مربوط به میانوارهای سیال نمونه‌های مورد مطالعه بر پایه دمای همگن شدگی.

شکل ۱۷- موقعیت میانوارهای سیال روی نمودار دمای همگن شدگی- درصد شوری انواع ذخایر معدنی (Wilkinson, 2001).



شکل ۱۸- نمایش میدان مغناطیسی کلی در ناحیه مورد پژوهش. موقعیت کانسار اورس کوه روی تصویر با نشانه ستاره مشخص شده است.

## کتابنگاری

- حکمتیان، م، ۱۳۹۱- بررسی ژنز کانسار اورس‌کوه در ارتباط با فرایندهای ساختاری- زمین‌شناسی در البرز خاوری (استان سمنان)، پایان‌نامه کارشناسی ارشد، پژوهشکده علوم زمین، سازمان زمین‌شناسی و اکتشافات معدنی کشور، ۱۵۴ ص.
- رسا، ا. و کاظمی مهرنیا، ا، ۱۳۸۴- کانسارهای فلزات پایه با میزان سنگ‌های کربناتی، انتشارات روزبهان.
- شريعتمدار، ا، ۱۳۷۷- بررسی زمین‌شناسی و ژنز کانسار فلورین شش روذبار، سوادکوه مازندران بر اساس داده‌های حاصل از مطالعه آنالیز رخساره‌ای، ژئوشیمی، میانوارهای سیال، پایان‌نامه کارشناسی ارشد، دانشگاه تربیت مدرس، ۲۰۲ ص.
- علوی نایینی، ۱۹۹۷- نقشه ۱:۱۰۰۰۰، سازمان زمین‌شناسی و اکتشافات معدنی کشور.
- فاسی، م. ر، ۱۳۸۷- پایه‌های زمین‌شناسی ساختمانی، سازمان زمین‌شناسی و اکتشافات معدنی کشور.
- قربانی، م، تاجبخش، پ. و خوبی، ن، ۱۳۷۹- کانسارهای سرب و روی در ایران، سازمان زمین‌شناسی و اکتشافات معدنی کشور.
- گرجی زاد، ح، ۱۳۷۵- زمین‌شناسی، کانی‌شناسی، آنالیز رخساره و ژنز کانسار فلورین پاچی میانه، پایان‌نامه کارشناسی ارشد، دانشگاه تربیت مدرس، ۱۸۶ ص.
- مهری، ب، راستاد، ا. و فیاضی، ف، ۱۳۸۹- رخساره‌های کانه‌دار کانسار سرب-نقره (روی) خانجار، در توالی کربناتی کرتاسه بالایی ایران مرکزی، جنوب دامغان، فصلنامه علوم زمین، سال نوزدهم، شماره ۷۵.

## References

- Amstutz, G. C. & Fontbote, L., 1983- Observation on genesis of stratabound Pb-Zn (F-Ba) deposit in carbonate rocks, Int. Conf. on Mississippi Valley Type Lead-Zinc Deposits. Proc. Vol. Univ. Missouri Rolla. P. 536-545.
- Bradley, D. C. & Leach, D. L., 2003- Tectonic controls of Mississippi Valley-Type lead-zinc mineralization in orogenic forelands: Mineralium Deposita, v. 38, p. 652-667.
- Ghorbani, M., 2013- The Economic Geology of Iran: Mineral Deposits and Natural Resources, Springer Science & Business Media, 584 pages.
- Hitzman, M. W., Reynolds, N. A., Sangster, D. F., Allen, C. R. & Carman, C. E., 2003- Classification, Genesis, and Exploration Guides for Nonsulfide Zinc Deposits, Economic Geology, Vol. 98, pp. 685-714.
- Hannigan, P., 2007- Metallogeny of the Pine Point Mississippi Valley-Type zinc-lead district, Southern Northwest Territories, in Goodfellow, W.D., ed., Mineral Deposits of Canada: A Synthesis of Major Deposit-Types, District Metallogeny, the Evolution of Geological Provinces, and Exploration Methods: Geological Association of Canada, Mineral Deposits Division, Special Publication 5, p. 609-632.
- Leach, D. L. & Sangster, D. F., 1993- Mississippi Valley-type lead-zinc deposits, in Kirkham, R. V., Sinclair, W. D., Thorpe, R. I. and Duke, J. M. (eds.), Mineral Deposit Modeling: Geological Association of Canada, Special Paper 40: 289-314.
- Leach, D. L. & Taylor, R. D., 2009- Mississippi Valley-type lead-zinc deposit model: U.S. Geological Survey Open-File Report 2009-1213, 5 p.
- Leach, D. L., Bradley, D., Lewchuk, M. T., Symons, D. T. A., De Marsily, G. & Brannon, J., 2001a- Mississippi Valley-type lead-zinc deposits through geological time: implications from recent age-dating: Mineralium Deposita, v. 36, p. 711-740.
- Leach, D. L., Premo, W., Lewchuk, M., Henry, B., LeGoff, M., Rouvier, H., Macquar, J. C. & Thibieroz, J., 2001b- Evidence for Mississippi Valley-type lead-zinc mineralization in the Cévenne region, southern France, during Pyrénées orogeny, Mineral Deposits at the Beginning of the 21st Century: Balkema, Rotterdam, p. 157-160.
- Nelson, J., Paradis, S., Christensen, J. & Gabites, J., 2002- Canadian Cordilleran Mississippi Valley-type deposits: A case for Devonian-Mississippian back-arc hydrothermal origin: Economic Geology, v. 97, p. 1013-1036.
- Pirajno, F., 2009- Hydrothermal processes and mineral systems: Springer, 1250p.
- Paradis, S., Hannigan, P. & Dewing, K., 2007- Mississippi Valley-type lead-zinc deposits, in Goodfellow, W.D., ed., Mineral Deposits of Canada: A Synthesis of Major Deposit-Types, District Metallogeny, the Evolution of Geological Provinces, and Exploration Methods: Geological Association of Canada, Mineral Deposits Division, Special Publication No. 5, p. 185-203.
- Patterson, K. M. & Powis, K., 2002- Structural and stratigraphic controls on Zn-Pb-Ag mineralization at the Nanisivik Mississippi Valley-type deposit, northern Baffin Island, Nunavut: Geological Survey of Canada, Current Research 2002-C22, 12 p.
- Roedder, E. & Bodnar, R. J., 1977- Fluid inclusion studies of hydrothermal ore deposits. In: Barends, H.L., Geochemistry of hydrothermal ore deposits, Wiley, New York, p. 657-697.
- Shepherd, T., Rankin, A. H. & Alderton, D. H. M., 1985- A Practical Guide to Fluid Inclusion Studies: Blackie USA Chapman & Hall New York, 239p.
- Wilkinson, J. J., 2001- Fluid inclusion in hydrothermal ore deposits, Elsevier Science, Lithos, 55, 229-272.

# Geology and Origin of Oras-Kuh Pb-Zn Deposit in Eastern Alborz (Semnan Province)

M. Lotfi <sup>1\*</sup>, M. Hekmatian <sup>2</sup>, A. A. Shabani <sup>3</sup> & M. Mokhtari <sup>4</sup>

<sup>1</sup> Associate Professor, Department of Geology, North Tehran Branch, Islamic Azad University, Tehran, Iran

<sup>2</sup> M. Sc. Student, Research Institute for Earth Sciences, Geological Survey of Iran, Tehran, Iran

<sup>3</sup> Assistant Professor, Faculty of Geoscience, Kharazmi University, Tehran, Iran

<sup>4</sup> Assistant Professor, Department of Geology, Zanjan University, Zanjan, Iran

Received: 2012 August 29

Accepted: 2013 January 22

## Abstract

Oras-kuh lead-zinc deposit is located at about 79 km north-east of Semnan city. This deposit is considered as stratabound and occurs in the upper part of the Triassic dolomitic limestone of the Elika formation. Oras-kuh structure includes a northeast - southwest trending normal anticline and follows the general trend of the eastern Alborz. Folding in the area has generated three sets of joints including joints trending parallel to the direction of anticline axis, extensional joints perpendicular to anticline axis and the conjugate joint systems. The first two sets of the joints host vein form mineralization. In addition, breccia and karst filling mineralization can be detected. Major minerals are galena, sphalerite and pyrite that altered to secondary minerals such as cerussite, goethite, hydroheterolite and rosasite under the supergene processes. Gangue minerals are dolomite, calcite, barite, quartz, and small amounts of fluorite. The majority of the temperature data are between 298 to 323°C based on the fluid inclusion geothermometry of calcite and barite minerals. The relatively high temperatures of fluid inclusions are attributed most likely to a concealed deep intrusion in the crust inferred by airborne geomagnetic survey. Fluid salinities show a wide range from 0.6 to 15wt% NaCl eq. formed through mixing of basinal brines with meteoritic water. In general based on the present evidences, Oras-kuh lead-zinc deposit can be compared with MVT deposits; however the primary mineralogy and elemental ratios have been changed through secondary supergene processes.

**Keywords:** Elika formation, MVT deposit, Fluid inclusion, Oras-kuh, Eastern Alborz

For Persian Version see pages 73 to 84

\*Corresponding author: M. Lotfi; E-mail: M\_lotfi\_1014@yahoo.com